

Formelsammlung Technische Mechanik

© 2000 by Michael Göller

1. Allgemeines

$$(1) \quad 1 \text{ Newton} = 1 \text{ N} = 1 \text{ kg} \cdot \frac{\text{m}}{\text{s}^2}$$

$$(2) \quad 1 \text{ kg Masse wiegt auf der Erdoberfläche } 9,81 \text{ N}$$

$$(3) \quad F = m_F \cdot l_F$$

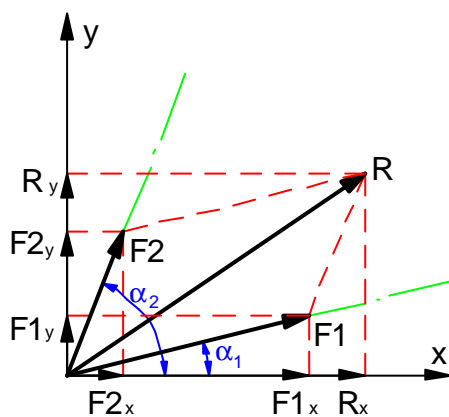
$$(4) \quad F = q \cdot l$$

$$(5) \quad F = \sigma \cdot A = p \cdot A$$

Kennzeichnung der Kraft

Streckenlast (q : Kraft / Länge)

Flächenlast (σ, p : Kraft / Fläche)



Rechnerische Zerlegung einer Kraft in 2 Komponenten mit gegebenen Wirkungslinien.

R_x und R_y (Resultierende) müssen mit dem zugehörigen Vorzeichen eingesetzt werden.

$$(6.1) \quad F_{2X} = \frac{R_y - R_x \cdot \tan \alpha_1}{\tan \alpha_2 - \tan \alpha_1}$$

$$(6.3) \quad F_{1X} = \frac{-R_y + R_x \cdot \tan \alpha_2}{\tan \alpha_2 - \tan \alpha_1}$$

$$(6.2) \quad F_{2Y} = \frac{R_y - R_x \cdot \tan \alpha_1}{\tan \alpha_2 - \tan \alpha_1} \cdot \tan \alpha_2$$

$$(6.4) \quad F_{1Y} = \frac{-R_y + R_x \cdot \tan \alpha_2}{\tan \alpha_2 - \tan \alpha_1} \cdot \tan \alpha_1$$

$$(7) \quad \vec{F} = F_X \cdot \vec{i} + F_Y \cdot \vec{j} + F_Z \cdot \vec{k}$$

Addition räumlicher Kräfte

$$(7.1) \quad \vec{F} = \vec{F}_X + \vec{F}_Y + \vec{F}_Z$$

$$(8) \quad \vec{R} = \vec{R}_X + \vec{R}_Y + \vec{R}_Z = \vec{F}_1 + \vec{F}_2 \\ = (F_{1X} + F_{2X}) \cdot \vec{i} + (F_{1Y} + F_{2Y}) \cdot \vec{j} + (F_{1Z} + F_{2Z}) \cdot \vec{k}$$

Resultierende Kraft

$$(8.1) \quad R_X = F_{1X} + F_{2X} = \Sigma F_X$$

Beträge

$$R_Y = F_{1Y} + F_{2Y} = \Sigma F_Y$$

$$R_Z = F_{1Z} + F_{2Z} = \Sigma F_Z$$

$$(9) \quad F = \sqrt{F_X^2 + F_Y^2 + F_Z^2}$$

Betrag des Kraftvektors

$$(9.1) \quad F = \sqrt{F_X^2 + F_Y^2}$$

Betrag im Ebenen System

2. Statik

2.1 Kräfte am starren Körper

$$(10) \quad \Sigma \vec{F}_n = \vec{R} \quad \text{Addition nichtparalleler Kräfte}$$

$$(10.1) \quad \Sigma F_X = R_X \quad \text{Beträge}$$

$$\Sigma F_Y = R_Y$$

$$\Sigma F_Z = R_Z$$

$$(11) \quad \Sigma \vec{F}_n = \vec{0} \quad \text{Kräftegleichgewicht}$$

$$(11.1) \quad \Sigma F_X = 0 \quad \text{Beträge}$$

$$\Sigma F_Y = 0$$

$$\Sigma F_Z = 0$$

2.2 Momente am starren Körper

$$(12) \quad M_p = F \cdot s \quad \text{Moment am starren Körper}$$

$$(13) \quad \vec{M} = \vec{a} \times \vec{F}_1 \quad \text{vektoriell allgemein}$$

$$(14) \quad M = s \cdot F = a \cdot F = \sin \alpha \quad \text{Betrag}$$

$$(14.1) \quad \vec{a} \times \vec{F} = \begin{vmatrix} i & j & k \\ a_x & a_y & a_z \\ F_x & F_y & F_z \end{vmatrix}$$

$$(14.2) \quad \vec{a} \times \vec{F} = \begin{vmatrix} i & j & k \\ a_x & a_y & a_z \\ F_x & F_y & F_z \end{vmatrix} \begin{vmatrix} i & j \\ F_x & F_y \end{vmatrix} \quad \text{nach Sarrus berechnen}$$

$$(14.3) \quad = + a_y F_z i + a_z F_x j + a_x F_y k - a_z F_y i - a_x F_z j - a_y F_x k$$

$$(14.4) \quad = + (a_y \cdot F_z - a_z \cdot F_y) \cdot i \\ + (a_z \cdot F_x - a_x \cdot F_z) \cdot j \\ + (a_x \cdot F_y - a_y \cdot F_x) \cdot k$$

(15) Bei der Parallelverschiebung einer Kraft F um s , muß ein Moment eingeführt werden, das dem Moment $M = s \cdot F$ der unverschobenen Kraft bezüglich der neuen Wirkungslinie entspricht.

$$(16) \quad \vec{M}_p = \vec{r} \times \vec{F} \quad \text{Das statische Moment einer Kraft}$$

$$(16.1) \quad M_p = r \cdot F \cdot \sin \alpha \quad \text{Betrag}$$

$$(17) \quad M = (x_1 - x_p) \cdot F \cdot \cos \alpha - (y_1 - y_p) \cdot F \cdot \sin \alpha = F_y \cdot (x_1 - x_p) - F_x \cdot (y_1 - y_p)$$

(17.1) Umgekehrt gilt daher: Die Summe der statischen Momente mehrerer Kräfte ist gleich dem statischen Moment ihrer Resultierenden. $\vec{M} = \vec{r} \times \vec{R} = \Sigma \vec{r}_i \times \vec{F}_i$

(17.2) Die Summe der statischen Momente mehrere Kräfte bzgl. eines Punktes der Wirkungslinie ihrer Resultierenden ist = 0. $\vec{M} = \Sigma \vec{r}_i \times \vec{F}_i = 0$

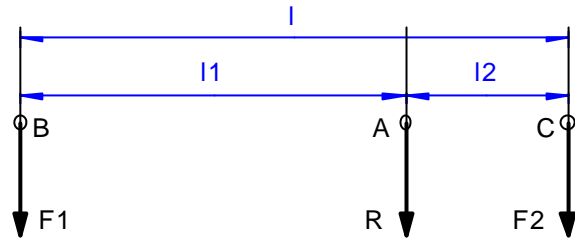
Addition parallel gerichteter Kräfte

$$(18.1) \quad R = F_2 \cdot \frac{l}{l_1} \quad (\text{Bezugspunkt B})$$

$$(18.2) \quad l_1 = l \cdot \frac{F_2}{F_1 + F_2}$$

$$(18.3) \quad R = F_1 \cdot \frac{l}{l_2} \quad (\text{Bezugspunkt C})$$

$$(18.4) \quad l_2 = l \cdot \frac{F_1}{F_1 + F_2}$$



2.3 Das Gleichgewicht am starren Körper

Ebenes System

$$(19) \quad \Sigma \vec{F}_i = \vec{0} : \vec{F}_1 + \vec{F}_2 + \vec{F}_3 + \dots + \vec{F}_n = \vec{0}$$

Vektoren

$$(20.1) \quad \Sigma F_{ix} = \Sigma x = 0 : F_{1x} + F_{2x} + \dots + F_{nx} = 0$$

Beträge

$$(20.2) \quad \Sigma F_{iy} = \Sigma y = 0 : F_{1y} + F_{2y} + \dots + F_{ny} = 0$$

$$(21) \quad \vec{M}_i^* = M_i^* \cdot \vec{k}$$

Freie Momente

$$(22) \quad \vec{M}_i = (r_{ix} \cdot F_{iy} - r_{iy} \cdot F_{ix}) \cdot \vec{k}$$

$$(23) \quad \Sigma \vec{M} = \Sigma \vec{r}_i \times \vec{F}_i + \Sigma \vec{M}_i^* = \vec{0}$$

Vektoren

$$(23.1) \quad \Sigma M = \Sigma (r_{ix} \cdot F_{iy} - r_{iy} \cdot F_{ix}) + \Sigma M_i^* = 0$$

Beträge

Bemerkung:

Definiton des Gleichgewichts: Entweder durch 2 Vektorgleichungen (19 und 23) oder durch 3 Betragsgleichungen (20.1; 20.2 und 23.1).

Räumliches System

$$(24) \quad \Sigma \vec{F}_i = \vec{0} : \vec{F}_1 + \vec{F}_2 + \vec{F}_3 + \dots + \vec{F}_n = \vec{0}$$

Vektoren

$$(24.1) \quad \Sigma F_{ix} = \Sigma x = 0 : F_{1x} + F_{2x} + \dots + F_{nx} = 0$$

Beträge

$$(24.2) \quad \Sigma F_{iy} = \Sigma y = 0 : F_{1y} + F_{2y} + \dots + F_{ny} = 0$$

$$(24.3) \quad \Sigma F_{iz} = \Sigma z = 0 : F_{1z} + F_{2z} + \dots + F_{nz} = 0$$

(Vorzeichen beachten !)

$$(25) \quad \vec{r}_i \times \vec{F}_i = \begin{vmatrix} \vec{i} & \vec{j} & \vec{k} \\ r_{ix} & r_{iy} & r_{iz} \\ F_{ix} & F_{iy} & F_{iz} \end{vmatrix} = \begin{vmatrix} \vec{i} & \vec{j} \\ r_{ix} & r_{iy} \\ F_{ix} & F_{iy} \end{vmatrix}$$

Momente der Kräfte

$$(25.1) \quad \vec{M}_i^* = M_{ix}^* \cdot \vec{i} + M_{iy}^* \cdot \vec{j} + M_{iz}^* \cdot \vec{k}$$

Freie Momente

$$(26) \quad \Sigma \vec{r}_i \times \vec{F}_i + \Sigma \vec{M}_i^* = \vec{0}$$

Vektoren

$$(26.1) \quad \Sigma M_x = 0 : \Sigma (r_{iy} \cdot F_{iz} - r_{iz} \cdot F_{iy}) + \Sigma M_{ix}^* = 0$$

Beträge

$$(26.2) \quad \Sigma M_y = 0 : \Sigma (r_{iz} \cdot F_{ix} - r_{ix} \cdot F_{iz}) + \Sigma M_{iy}^* = 0$$

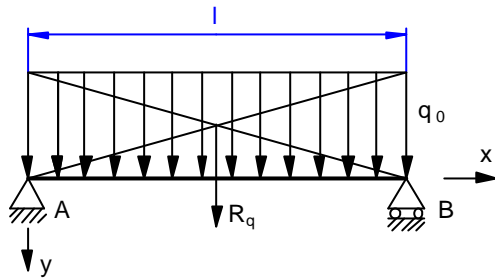
$$(26.3) \quad \Sigma M_z = 0 : \Sigma (r_{ix} \cdot F_{iy} - r_{iy} \cdot F_{ix}) + \Sigma M_{iz}^* = 0$$

Bemerkung:

Das Gleichgewicht im räumlichen System ist definiert, entweder durch 2 Vektorgleichungen (24 und 26) oder durch sechs Betragsgleichungen (24.1-3; 25.1-3).

2.4 Statik des Balkens

Konstante Streckenlast über die ganze Balkenlänge (siehe 230.4 / 230.5)



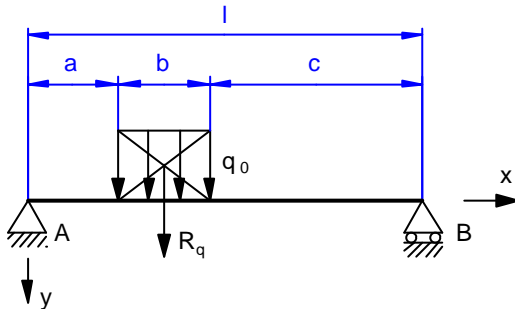
$$(31.1) \quad M(x) = \frac{q_0 \cdot l}{2} \cdot \left(\frac{x}{l} - \frac{x^2}{l^2} \right) = \frac{R_q \cdot l}{2} \cdot \left(\frac{x}{l} - \frac{x^2}{l^2} \right) \quad (\text{Parabel})$$

Biegemoment an der Stelle x

$$(31.2) \quad Q(x) = q_0 \cdot l \cdot \left(\frac{x}{l} - \frac{1}{2} \right) \quad (\text{Gerade})$$

Querkraft an der Stelle x

Kontinuierliche Streckenlast auf Teillänge des Balkens



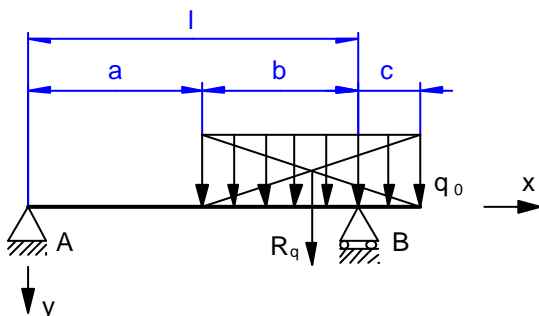
$$(32.1) \quad M(x) = A \cdot x - q_0 \cdot \frac{(x-a)^2}{2} + q_0 \cdot \frac{(x-a-b)^2}{2}$$

Biegemoment

$$(32.2) \quad Q(x) = -A + q_0 \cdot (x-a) - q_0 \cdot (x-a-b)$$

Querkraft

Konstante, übertragende Streckenlast



$$(33.1) \quad M(x) = \underbrace{A \cdot x}_{\text{Bereich_a}} - \underbrace{q_0 \cdot (x-a) \cdot \frac{x-a}{2}}_{\text{Bereich_b}} = \underbrace{A \cdot x - q_0 \cdot (x-a) \cdot \frac{x-a}{2}}_{\text{Bereich_c}} + B \cdot (x-a-b)$$

$$(33.2) \quad Q(x) = -A = -A + q_0 \cdot (x-a) = -A + q_0 \cdot (x-a) - B \quad \text{Querkraft}$$

3. Schwerkraft und Schwerpunkt

3.1 Massenpunkt und Schwerpunkt

$$(60) \quad G = m \cdot g$$

Gewicht = Masse · Erdbeschleunigung

$$(60.1) \quad g = 9,81 \frac{\text{m}}{\text{s}^2}$$

Fallbeschleunigung

$$(60.2) \quad 1 \text{ N} = 1 \text{ kg} \cdot 1 \frac{\text{m}}{\text{s}^2}$$

Einheit

3.2 Der Schwerpunkt

$$(61) \quad \vec{M} = \sum \vec{r}_i \times \vec{G}_i = \vec{r}_0 \times \vec{G}$$

$$(61.1) \quad \vec{r}_0 \times \vec{G} = 0 = \sum \vec{r}_i \times \vec{G}_i$$

$$(62) \quad \vec{r}_0 = \frac{\sum m_i \cdot \vec{r}_i}{m} = \sum \frac{m_i}{m} \cdot \vec{r}_i$$

$$(63) \quad x_0 = \sum \frac{m_i}{m} x_i \quad y_0 = \sum \frac{m_i}{m} y_i \quad z_0 = \sum \frac{m_i}{m} z_i$$

$$(64) \quad \frac{a_1}{a_2} = \frac{m_2}{m_1}$$

3.3 Ermittlung von Schwerpunkten

$$(65) \quad \sum \frac{V_i}{V} \cdot \vec{r}_i = \vec{r}_0$$

Schwerpunkte von Linien

$$(66) \quad x_0 = \sum \frac{\Delta l_i}{l} \cdot x_i \quad y_0 = \sum \frac{\Delta l_i}{l} \cdot y_i \quad z_0 = \sum \frac{\Delta l_i}{l} \cdot z_i$$

$$(66.1) \quad \frac{a_1}{a_2} = \frac{l_2}{l_1} \quad \text{gebrochener Linienzug}$$

$$(66.2) \quad x_0 = \frac{l_1 \cdot x_1}{l_1 + l_2} + \frac{l_1 \cdot x_2}{l_1 + l_2} = \frac{l_1 \cdot x_1}{l} + \frac{l_2 \cdot x_2}{l}$$
$$y_0 = \frac{l_1 \cdot y_1}{l_1 + l_2} + \frac{l_1 \cdot y_2}{l_1 + l_2} = \frac{l_1 \cdot y_1 + l_2 \cdot y_2}{l}$$

$$(67.1) \quad y_0 = \frac{r}{b} \cdot s \quad ; \quad x_0 = 0 \quad (b = \text{Bogenlänge}, s = \text{Sehnenlänge}) \quad \text{Kreisbogen}$$

$$(67.2) \quad y_0 = \frac{s}{\pi} \cdot \frac{90^\circ}{\alpha^\circ} \quad ; \quad x_0 = 0$$

$$(67.3) \quad y_0 = \frac{r \cdot \sin \alpha}{\alpha} \quad ; \quad x_0 = 0$$

$$(67.4) \quad y_0 = \frac{2r}{\pi} \quad ; \quad x_0 = 0 \quad \text{Halbkreisbogen}$$

$$(67.5) \quad x_0 = \frac{2r}{\pi} = y_0 \quad \text{Viertelkreisbogen}$$

Schwerpunkte von ebenen Flächen

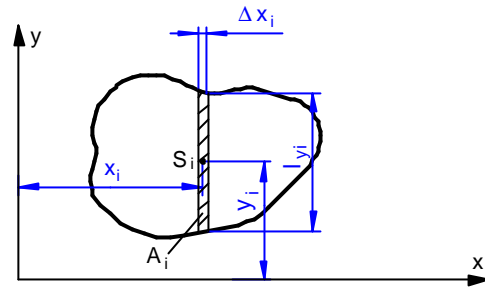
$$(68) \quad x_0 = \sum \frac{A_i}{A} \cdot x_i \quad \text{allgemein}$$

$$y_0 = \sum \frac{A_i}{A} \cdot y_i$$

1. Möglichkeit

$$(68.1) \quad x_0 = \sum \frac{\Delta x_i \cdot l_{yi}}{A} \cdot x_i$$

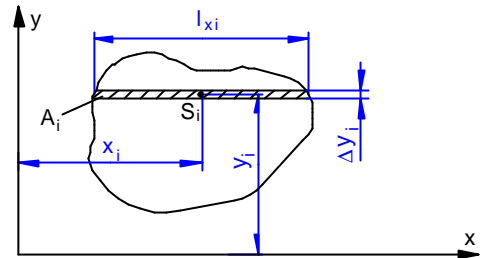
$$y_0 = \sum \frac{\Delta x_i \cdot l_{yi}}{A} \cdot y_i$$



2. Möglichkeit

$$(68.2) \quad x_0 = \sum \frac{\Delta y_i \cdot l_{xi}}{A} \cdot x_i$$

$$y_0 = \sum \frac{\Delta y_i \cdot l_{xi}}{A} \cdot y_i$$



(69) Schwerpunkt eines Dreiecks:

Die 3 Seitenhalbierenden (Schwerlinien) eines Dreiecks, schneiden sich im Schwerpunkt der Dreiecksfläche. Der Schwerpunkt teilt die Schwerlinien und die Höhen im Verhältnis 2:1.

$$(69.2) \quad x_0 = 0 ; y_0 = \frac{2}{3} \cdot \frac{rs}{b}$$

Kreisausschnitt, Kreissektor

$$(69.3) \quad x_0 = 0 ; y_0 = \frac{s}{\pi} \cdot \frac{60^\circ}{\alpha^\circ}$$

$$(69.4) \quad x_0 = 0 ; y_0 = \frac{2r \cdot \sin \alpha}{3\alpha}$$

$$(69.5) \quad x_0 = 0 ; y_0 = \frac{4}{3} \cdot \frac{r}{\pi}$$

Halbkreisfläche

(70) Kreisabschnitt:

Ist von einer Gesamtfläche ein Teil abgeschnitten, so ist das statische Moment der Restfläche gleich dem statischen Moment der Gesamtfläche, vermindert um das statische Moment der fehlenden Fläche.

$$(71.1) \quad y_0 = \frac{2}{3} \cdot \frac{r \cdot \sin^3 \alpha}{\alpha - \sin \alpha \cdot \cos \alpha} ; x_0 = 0$$

$$(71.2) \quad y_0 = \frac{4}{3} \cdot \frac{r \cdot \sin^3 \alpha}{2\alpha - \sin \alpha} ; x_0 = 0$$

Schwerpunkte räumlicher Flächen

$$(73) \quad \vec{r}_0 = \sum \frac{A_i}{A} \cdot \vec{r}_i$$

\vec{r} = Richtungsvektor

$$(73.1) \quad x_0 = \sum \frac{A_i}{A} \cdot x_i \quad y_0 = \sum \frac{A_i}{A} \cdot y_i \quad z_0 = \sum \frac{A_i}{A} \cdot z_i$$

$$(73.2) \quad x_0 = 0 ; y_0 = 0 ; z_0 = h_1 + \frac{h}{2}$$

Kugeloberfläche

$$(73.3) \quad x_0 = 0 ; y_0 = 0 ; z_0 = \frac{r}{2}$$

Halbkugeloberfläche

$$(73.4) \quad x_0 = 0 ; y_0 = 0 ; z_0 = \frac{r}{2} \cdot (y + \cos \alpha)$$

Kugelkappe

Schwerpunkte von Körpern

$$(74) \quad \vec{r}_0 = \sum \frac{V_i}{V} \cdot \vec{r}_i \quad \vec{r} = \text{Richtungsvektor}$$

$$(74.1) \quad x_0 = \sum \frac{V_i}{V} \cdot x_i \quad y_0 = \sum \frac{V_i}{V} \cdot y_i \quad z_0 = \sum \frac{V_i}{V} \cdot z_i$$

(74.2) Dreiseitige Pyramide

S ist Schwerpunkt eines Dreiecks, das parallel über dem Dreieck BCD (Grundfläche) liegt, im Abstand $h/4$ von diesem, bzw. im Abstand $\frac{3}{4}h$ von A (Spitze) aus.

$$(74.3) \quad x_0 = 0 \quad ; \quad y_0 = 0 \quad ; \quad z_0 = \frac{h}{4} \quad \text{Kreiskegel}$$

$$(74.4) \quad x_0 = 0 \quad ; \quad y_0 = 0 \quad ; \quad z_0 = \frac{3}{8} \cdot r \cdot (1 + \cos \alpha) \quad \text{Kugelausschnitt}$$

$$(74.5) \quad x_0 = 0 \quad ; \quad y_0 = 0 \quad ; \quad z_0 = \frac{3}{8} \cdot r \quad \text{Halbkugel}$$

Schwerpunktsbestimmung durch Messung

$$(75) \quad x_0 = \frac{B}{G} \cdot l$$

3.4 Bestimmung von Oberflächen und Volumen von Rotationskörpern

$$(80) \quad A = 2\pi \cdot y_0 \cdot l \quad \text{Rotationsfläche}$$

$$(80.1) \quad A = 2\pi \cdot \sum \Delta l_i \cdot y_i$$

$$(81) \quad A = 4\pi r^2 \quad \text{Kugeloberfläche}$$

$$(82) \quad A = \pi \cdot r \cdot \sqrt{h^2 + r^2} \quad \text{Mantelfläche des Kreiskegels}$$

$$(83) \quad A = 4\pi r^2 \cdot R \quad \text{Torus (Donut)}$$

$$(84) \quad V = 2\pi \cdot y_0 \cdot A \quad \text{Volumen des Rotationskörper}$$

$$(85) \quad V = \frac{4}{3} \cdot \pi \cdot r^3 \quad \text{Kugelvolumen}$$

$$(86) \quad V = \frac{1}{3} \cdot \pi \cdot h \cdot r^2 \quad \text{Kreiskegel}$$

$$(87) \quad V = 2\pi^2 \cdot R \cdot r^2 \quad \text{Torus}$$

4. Die Reibung

4.1 Haftreibung

(90) $R = \mu_0 \cdot N$

(91) $\mu_0 = \text{Reibungskoeffizient der Ruhe}$

Reibungskraft (Coulomb'sches Gesetz)

Reibkegel

(92) $\rho_0 = \arctan(\mu_0)$

Reibungswinkel

(93) Solange F innerhalb des Reibungskegels wirkt ($\alpha \leq \rho_0$)

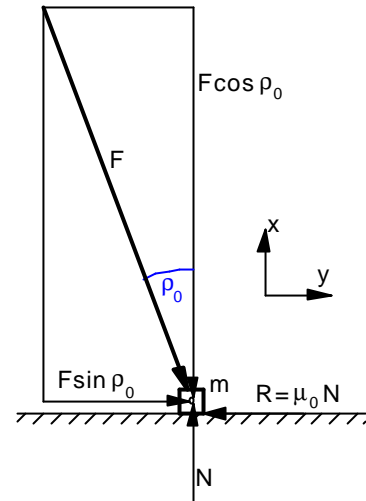
bleibt der Körper in Ruhe und man spricht von

Selbsthemmung (Selbstsperrung).

(94) $H = F \cdot (\mu_0 \cdot \cos \alpha - \sin \alpha)$

Horizontalkraft

(94.1) $H = F \cdot \frac{\sin(\rho_0 - \alpha)}{\cos \rho_0}$



Reibung auf schiefer Ebene

Hinaufschieben der Masse

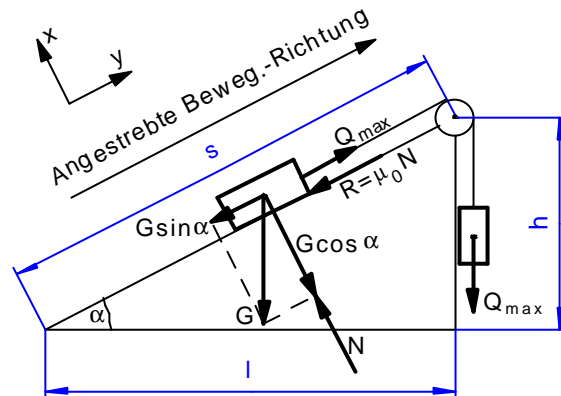
(95) $Q_{\max} = G \cdot (\sin \alpha + \mu_0 \cdot \cos \alpha)$

(96) $N = G \cdot \cos \alpha$ (Normalkraft)

(95.1) $Q_{\max} = G \cdot \frac{h + \mu_0 \cdot l}{s}$

mit $\mu_0 = \tan \rho_0$:

(95.2) $Q_{\max} = G \cdot \frac{\sin(\alpha + \rho_0)}{\cos \rho_0}$



Hinabschieben der Masse

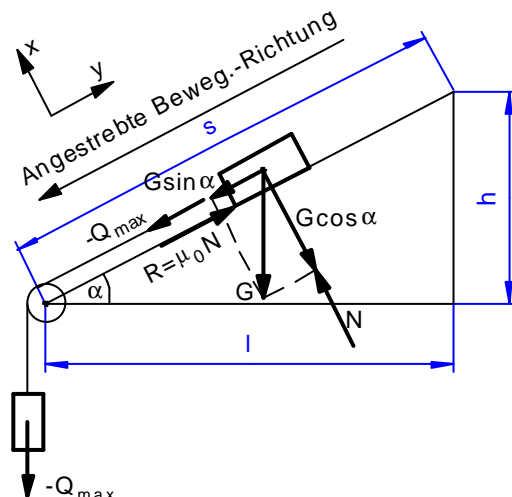
(97) $Q_{\max} = G \cdot (\sin \alpha - \mu_0 \cdot \cos \alpha)$

(98) $N = G \cdot \cos \alpha$ (Normalkraft)

(97.1) $Q_{\max} = G \cdot \frac{h - \mu_0 \cdot l}{s}$

(97.2) $Q_{\max} = G \cdot \frac{\sin(\alpha - \rho_0)}{\cos \rho_0}$

(99) Selbsthemmung für $\alpha \leq \rho_0$



$$(100) \quad \text{Selbsthemmung für } l \geq \frac{t}{2 \cdot \mu_0}$$

Schraubzwinge

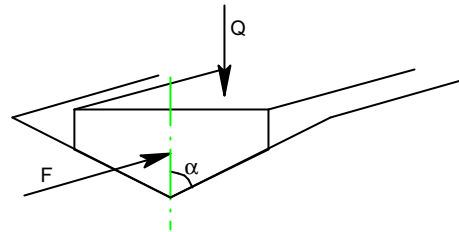
$$(101) \quad \text{Selbsthemmung für } \alpha \leq \rho_0$$

Schraube mit Flachgewinde

Keilförmige Nut

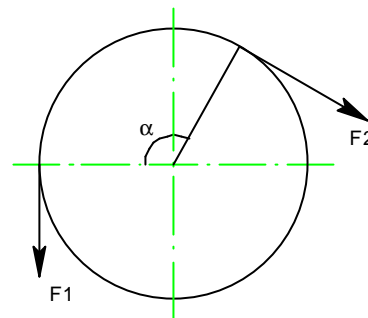
$$(102) \quad N = Q \cdot \frac{1}{2 \cdot \sin \alpha}$$

$$(103) \quad F = \frac{\mu_0 \cdot Q}{\sin \alpha}$$



Umschlingungsreibung

$$(104) \quad F_2 = F_1 \cdot e^{\mu_0 \cdot \alpha}$$



4.2 Gleitreibung

$$(110) \quad R = \mu \cdot N$$

Gleitreibung am Radiallager

$$(111) \quad \rho = \alpha$$

$$(111.1) \quad N = Q \cdot \cos \alpha$$

$$(111.2) \quad R = Q \cdot \sin \alpha$$

$$(111.3) \quad M_d = r \cdot Q \cdot \sin \alpha$$

äusseres Moment

Gleitreibung am Axiallager

$$(112) \quad M_R = \frac{2}{3} \cdot \mu \cdot Q \cdot r$$

Konstanter Druck auf Kreisringfläche

$$(113) \quad M_R = \frac{2}{3} \cdot \mu \cdot Q \cdot \frac{r_a^3 - r_i^3}{r_a^2 - r_i^2}$$

Reibungsmoment

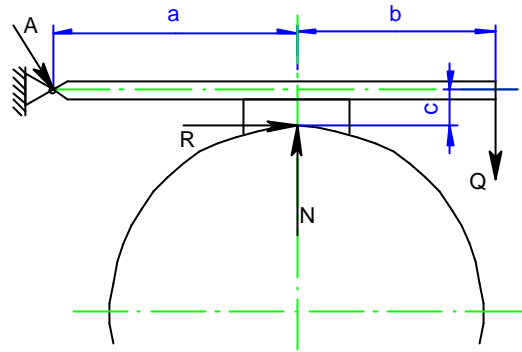
Hyperbolische Druckverteilung auf Kreisringfläche

$$(114) \quad M_R = \mu \cdot Q \cdot \frac{r_a + r_i}{2}$$

Die Backenbremse

$$(115.1) \quad N_1 = Q \cdot \frac{a+b}{a+\mu \cdot c}$$

$$(115.2) \quad N_2 = Q \cdot \frac{a+b}{a-\mu \cdot c}$$



Reibung am Keil

$$(116) \quad F = Q \cdot \frac{-\mu_1(\mu_2 \sin \alpha - \cos \alpha) + (\mu_2 \cos \alpha + \sin \alpha)}{-\mu_3(\sin \alpha + \mu_2 \cos \alpha) + (\cos \alpha - \mu_2 \sin \alpha)}$$

(für eintreiben des Keils)

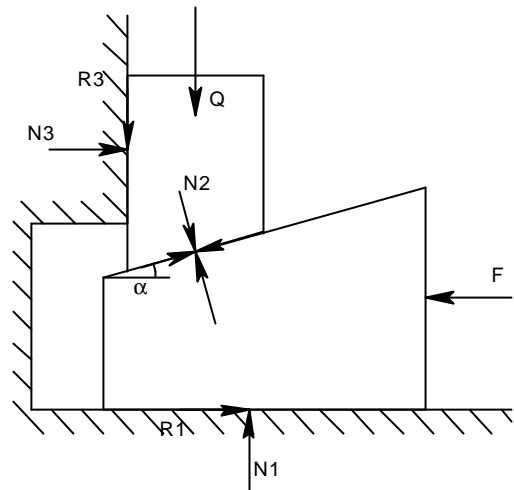
$$(117) \quad F = Q \cdot \frac{(\sin \alpha - \mu_2 \cos \alpha) + \mu_1(-\mu_2 \sin \alpha - \cos \alpha)}{(\cos \alpha + \mu_2 \sin \alpha) + \mu_3(-\mu_2 \cos \alpha + \sin \alpha)}$$

(für herausziehen des Keils)

Für $\mu_1 = \mu_2 = \mu_3$

$$(116.1) \quad F = Q \cdot \tan(\alpha + 2p) \quad (\text{eintreiben})$$

$$(117.1) \quad F = Q \cdot \tan(\alpha - 2p) \quad (\text{herausziehen})$$



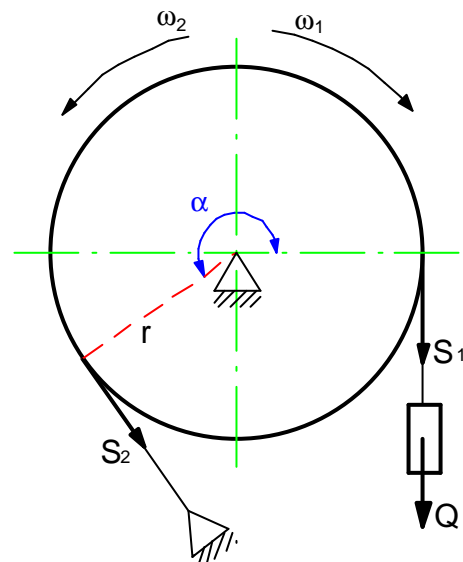
Bandbremse

Reibungsmoment rechtslauf:

$$(118) \quad M_{R1} = r \cdot Q \cdot (e^{\mu\alpha} - 1)$$

Reibungsmoment linkslauf:

$$(118.1) \quad M_{R2} = r \cdot Q \cdot (1 - e^{-\mu\alpha})$$



5. Normal- und Tangentialspannung

5.1 Zugspannung und Dehnung

Hooke'sches Gesetz, Spannung, Dehnung

$$(150) \quad \sigma = \frac{F}{A_0} \quad \text{Spannung}$$

$$(151) \quad \varepsilon = \frac{\Delta l}{l_0} \quad \text{Dehnung}$$

$$(152) \quad \varepsilon = \alpha \cdot \sigma \quad \text{mit } \alpha = \text{Dehnungszahl Dim: } \frac{\text{Fläche}}{\text{Kraft}} \quad \text{Hooke'sches Gesetz}$$

$$(152.1) \quad \varepsilon = \frac{\sigma}{E} \quad \text{mit } E = \text{Elastizitätsmodul} = \frac{1}{\alpha}$$

$$(152.2) \quad \varepsilon = \frac{\text{Endlänge} - \text{Anfangslänge}}{\text{Anfangslänge}} = \frac{l' - l_0}{l_0}$$

Vorzeichen der Dehnung:
+ Verlängerung durch Zugkraft ist positiv.
- Verkürzung durch Druckkraft ist negativ.

$$(153) \quad \Delta l = \frac{\sigma \cdot l_0}{E} \quad \text{Verlängerung}$$

$$(153.1) \quad \Delta l = \frac{F}{A_0} \cdot \frac{l_0}{E}$$

$$(154) \quad E_{\text{Stahl}} = 2,1 \cdot 10^5 \frac{\text{N}}{\text{mm}^2} \quad \text{Elastizitätsmodul für Stahl}$$

$$(154.1) \quad \sigma_{\text{zul}} = \frac{K}{s} \quad \text{Zulässige Spannung}$$

mit K = Werkstoffkennwert und s = Sicherheitsfaktor

Querdehnung

$$(155) \quad \varepsilon_q = \eta = \frac{\Delta d}{d_0} \quad \text{Querkontraktion}$$

$$(155.1) \quad \varepsilon_q = \frac{d_0 - d'}{d_0} \quad \text{Richtige Vorzeichen}$$

Verhältnis zwischen ε und ε_q über Proportionalität:

$$(156) \quad \varepsilon = m \cdot \varepsilon_q = \frac{1}{\nu} \cdot \varepsilon_q \quad \text{mit } m = \text{Poisson'sche Zahl und } \mu = \nu = \text{Querdehnungszahl}$$

$$(156.1) \quad \varepsilon_q = \frac{\varepsilon}{m} \quad \text{Querkontraktion}$$

$$(156.2) \quad \varepsilon_q = \frac{\sigma}{m \cdot E}$$

$$(156.3) \quad m_{\text{Stahl}} = \frac{10}{3} \approx 3,33 \quad m_{\text{Stahl}} = \text{Poisson'sche Zahl für Stahl}$$

$$(156.4) \quad \mu = \nu = 0,3 = \frac{1}{m} \quad \mu = \nu = \text{Querdehnungszahl für Stahl}$$

Dehnung der Querschnittsfläche

$$(157) \quad \varepsilon_A = 2 \frac{\Delta d}{d_0} = 2\varepsilon_q = 2\eta$$

Volumendehnung

$$(158) \quad \varepsilon_V = \varepsilon \cdot \frac{m-2}{m} = \frac{\sigma}{E} \cdot \frac{m-2}{m}$$

Formänderungsarbeit bei Zugbeanspruchung

$$(159) \quad W^* = \frac{1}{2} \cdot F \cdot \Delta l$$

Arbeit im elastischen Bereich

$$(160) \quad W^* = \frac{1}{2} \cdot V_0 \cdot \varepsilon \cdot \sigma = w \cdot V_0$$

$$(160.1) \quad \text{mit } w = \frac{1}{2} \cdot \varepsilon \cdot \sigma = \frac{1}{2} \cdot \frac{\sigma^2}{E}$$

Diese Arbeit W^* ist innerhalb des elastischen Bereiches geleistet und kann bei Entlastung wiedergewonnen werden. Man nennt W^* eine „innere Arbeit“.

Wärmespannung

α = lineare Wärmeausdehnungszahl (bei Stahl: $1,17 \cdot 10^{-5} \text{ 1/K}$)

$$(161) \quad \Delta l_T = \alpha \cdot l_0 \cdot \Delta T$$

Verlängerung durch Wärmedehnung

$$(162) \quad \Delta l_{\text{ges}} = l_0 \cdot \left[\alpha \cdot (T_2 - T_1) + \frac{F}{A_0 \cdot E} \right]$$

Gesamtverlängerung

$$(162.1) \quad F = \left[\frac{\Delta l_{\text{ges}}}{l_0} - \alpha \cdot (T_2 - T_1) \right] \cdot A_0 \cdot E$$

dazu nötige Kraft

$$(162.2) \quad \sigma = \frac{F}{A_0} = \left[\frac{\Delta l_{\text{ges}}}{l_0} - \alpha \cdot (T_2 - T_1) \right] \cdot E$$

aufretende Spannung

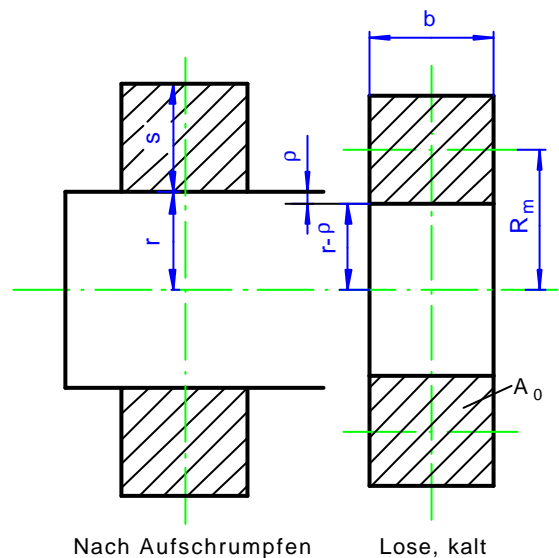
Schrumpfspannung

(163) Temperaturdifferenz

$$\Delta T = \frac{1}{\alpha} = \frac{\rho}{r - \rho} \quad \text{mit } r = \text{Wellenradius}$$

(163.1) Gesamtreibungsmoment

$$M_R = 2\pi \cdot \mu_0 \cdot r \cdot \frac{\rho}{R_m} \cdot E \cdot A_0 \quad \text{für } s \ll R_m$$



5.2 Tangential- oder Schubspannungen

Schubspannung

$$(164) \quad \tau = \frac{T}{A} = \frac{\text{Kraft}}{\text{Fläche}}$$

Schubspannung

Satz der Gleichheit einander zugehöriger Schubspannungen:

$$(164.1) \quad |\tau_{xz}| = |\tau_{zx}|$$

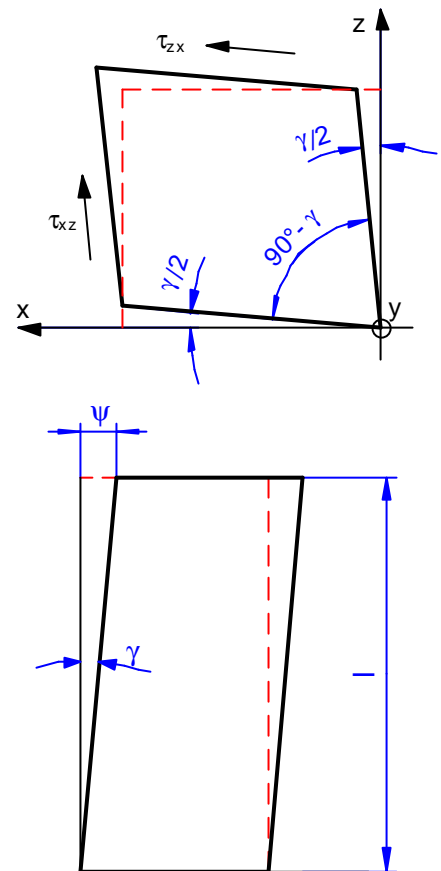
Definition der Indizes bei Schubspannungen:

1. Index: Bezeichnung der Achse, die zur Spannungsebene senkrecht verläuft.
2. Index: Bezeichnung der Achse, die zur Spannung τ parallel verläuft.

Gleitung, Gleitwinkel

$$(165) \quad \gamma = \beta \cdot \tau = \frac{1}{G} \cdot \tau \quad ; \quad G = \text{Gleitmodul}; \beta = \text{Gleitzahl}$$

$$(165.1) \quad \tau = \frac{\gamma}{\beta} = \gamma \cdot G$$



Gesamtgleitung

$$(165.2) \quad \psi = \gamma \cdot l = \frac{\tau}{G} \cdot l = \frac{T}{A} \cdot \frac{l}{G}$$

Gleitmodul für Stahl

$$(166) \quad G_{\text{Stahl}} = 8,1 \cdot 10^4 \frac{\text{N}}{\text{mm}^2}$$

Zusammenhang zwischen Gleit- und Elastizitätsmodul

$$(167) \quad G = \frac{E \cdot m}{2(m+1)}$$

$$(167.1) \quad m = \frac{2G}{E - 2G}$$

$$(168) \quad \varphi = \frac{\tau}{G} \cdot \frac{l}{r} = \frac{\gamma \cdot l}{r} \quad \text{Verdrehwinkel}$$

Dünne Hohlwelle (mit Radius r und Wandstärke dr ; $r \gg dr$)

$$(169) \quad M_t = 2\pi \cdot \tau_{x\varphi} \cdot \rho^2 \cdot dp \quad \text{Gesamt-Torsionsmoment}$$

Dicke Hohlwelle oder Vollwelle (mit Radius r und Wandstärke dr)

$$(170) \quad I_p = \frac{(d_a^4 - d_i^4) \cdot \pi}{32} \quad \text{Polares Flächenmoment 2. Grades}$$

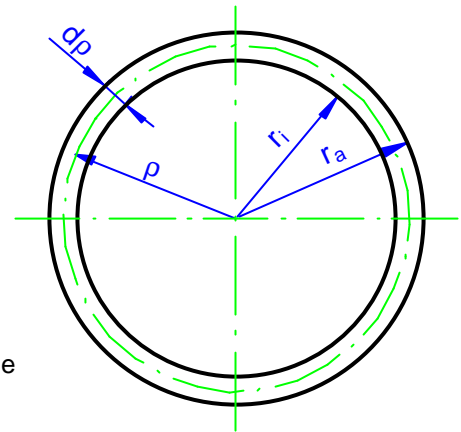
$$(171) \quad \varphi = \frac{M_t \cdot l}{G \cdot I_P} \quad \text{Verdrehwinkel}$$

$$(172) \quad \tau = \frac{M_t \cdot \rho}{I_P} \quad \text{Torsionsspannung}$$

$$(173) \quad \tau_{\max} = \frac{M_t \cdot r_a}{I_p} \quad \text{Maximale Torsionsspannung}$$

$$(174) \quad I_P = \frac{d^4 \cdot \pi}{32} \quad \text{Polares Trägheitsmoment für Vollwelle}$$

(175) $W_p = \frac{d^3 \cdot \pi}{16}$ Polares Widerstandsmoment nur für Vollwelle



$$(176) \quad \tau_{\max} = \frac{M_t \cdot r}{\underbrace{I_p}_{\text{auch Hohlwelle}}} = \frac{M_t}{\underbrace{W_p}_{\text{nur Vollwelle}}} \quad \text{allgemein}$$

$$(177) \quad W^* = \frac{1}{2} \cdot M_t \cdot \varphi \quad \text{Formänderungsarbeit bei Torsion}$$

$$(178) \quad W^* = \frac{1}{2} \cdot \frac{\tau^2}{G} \cdot V = w^* \cdot V \quad (V = A \cdot l = \text{Volumen})$$

$$(179) \quad w^* = \frac{1}{2} \cdot \frac{\tau^2}{G} \quad \text{spezielle Formänderungsarbeit}$$

5.3 Spannungszustände

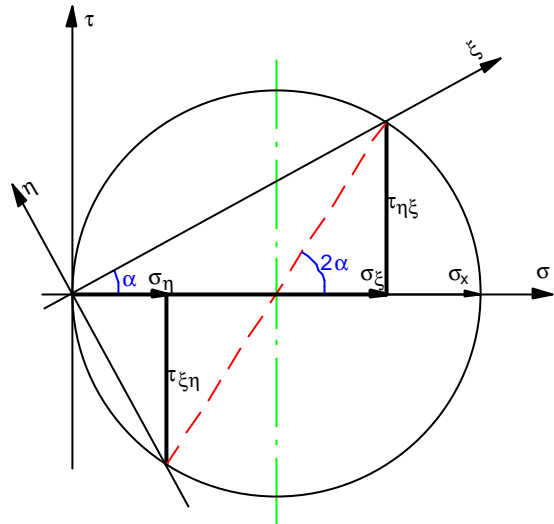
Einachsiger oder geradliniger Spannungszustand

$$(180) \quad \sigma_{\xi} = \sigma_x \cdot \frac{1 + \cos 2\alpha}{2}$$

$$(180.1) \quad \tau_{\xi\eta} = -\sigma_x \cdot \frac{\sin 2\alpha}{2}$$

$$(181) \quad \sigma_{\eta} = \sigma_x \cdot \frac{1 - \cos 2\alpha}{2}$$

$$(181.1) \quad \tau_{\eta\xi} = \sigma_x \cdot \frac{\sin 2\alpha}{2}$$



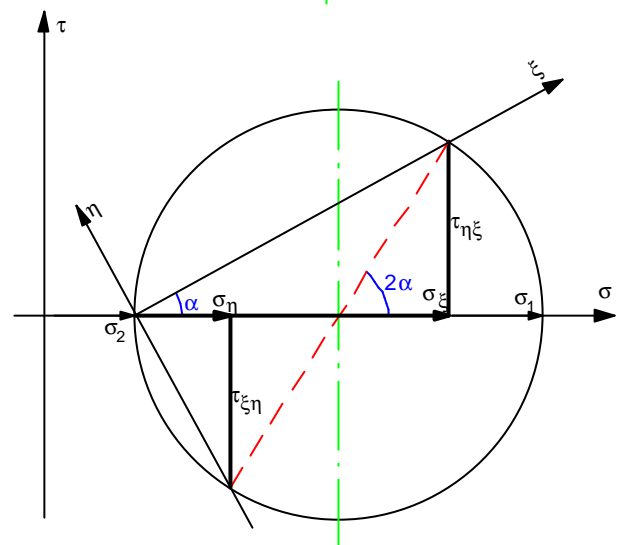
Zweiachsiger oder ebener Spannungszustand

$$(182) \quad \sigma_{\xi} = \frac{\sigma_1 + \sigma_2}{2} + \frac{\sigma_1 - \sigma_2}{2} \cdot \cos 2\alpha$$

$$(182.1) \quad \tau_{\xi\eta} = -\frac{\sigma_1 - \sigma_2}{2} \cdot \sin 2\alpha$$

$$(183) \quad \sigma_{\eta} = \frac{\sigma_1 + \sigma_2}{2} - \frac{\sigma_1 - \sigma_2}{2} \cdot \cos 2\alpha$$

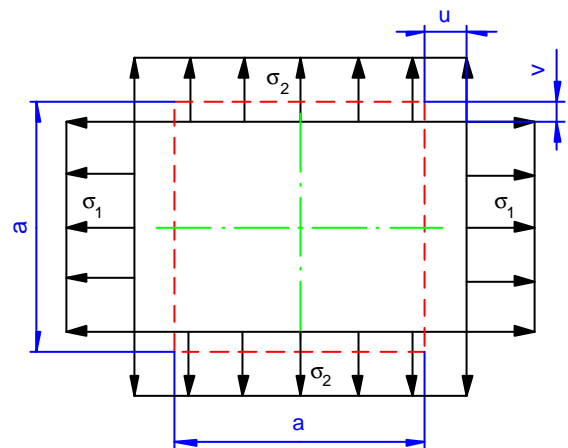
$$(183.1) \quad \tau_{\eta\xi} = \frac{\sigma_1 - \sigma_2}{2} \cdot \sin 2\alpha$$



Die Dehnungen im 2-achsigen Spannungszustand

$$(184) \quad \varepsilon_u = \frac{u_{\text{ges}}}{\frac{a}{2}} = \frac{1}{E} \cdot \left(\sigma_1 - \frac{\sigma_2}{m} \right)$$

$$\varepsilon_v = \frac{v_{\text{ges}}}{\frac{a}{2}} = \frac{1}{E} \cdot \left(\sigma_2 - \frac{\sigma_1}{m} \right)$$



Umrechnen allgemeiner Spannungen

$$(185) \quad \sigma_x = \frac{\sigma_{\xi} + \sigma_{\eta}}{2} + \frac{\sigma_{\xi} - \sigma_{\eta}}{2} \cdot \cos 2\alpha + \tau_{\xi\eta} \cdot \sin 2\alpha$$

$$(185.1) \quad \tau_{xy} = -\frac{\sigma_{\xi} - \sigma_{\eta}}{2} \cdot \sin 2\alpha + \tau_{\xi\eta} \cdot \cos 2\alpha$$

$$(186) \quad \sigma_y = \frac{\sigma_{\xi} + \sigma_{\eta}}{2} - \frac{\sigma_{\xi} - \sigma_{\eta}}{2} \cdot \cos 2\alpha - \tau_{\xi\eta} \cdot \sin 2\alpha$$

$$(186.1) \quad \tau_{yx} = +\frac{\sigma_{\xi} - \sigma_{\eta}}{2} \cdot \sin 2\alpha - \tau_{\xi\eta} \cdot \cos 2\alpha$$

Allgemeines Gesetz für die Zerlegung allgemeiner Spannungen

$$(187) \quad \begin{aligned} \sigma_{xx} &= \sigma_{\xi\xi} \cdot \cos x\xi \cdot \cos x\xi + \tau_{\xi\eta} \cdot \cos x\xi \cdot \cos x\eta + \tau_{\eta\xi} \cdot \cos x\eta \cdot \cos x\xi + \sigma_{\eta\eta} \cdot \cos x\eta \cdot \cos x\eta \\ \sigma_{yy} &= \sigma_{\xi\xi} \cdot \cos y\xi \cdot \cos y\xi + \tau_{\xi\eta} \cdot \cos y\xi \cdot \cos y\eta + \tau_{\eta\xi} \cdot \cos y\eta \cdot \cos y\xi + \sigma_{\eta\eta} \cdot \cos y\eta \cdot \cos y\eta \\ \sigma_{xy} &= \sigma_{\xi\xi} \cdot \cos x\xi \cdot \cos y\xi + \tau_{\xi\eta} \cdot \cos x\xi \cdot \cos y\eta + \tau_{\eta\xi} \cdot \cos x\eta \cdot \cos y\xi + \sigma_{\eta\eta} \cdot \cos x\eta \cdot \cos y\eta \end{aligned}$$

Umrechnung auf Hauptspannungen

$$(188) \quad \tan 2\alpha^* = \frac{2\tau_{\xi\eta}}{\sigma_{\xi} - \sigma_{\eta}}$$

Die Invarianten des ebenen Spannungszustandes

1. Invariante

$$(189) \quad \sigma_x + \sigma_y = \sigma_{\xi} + \sigma_{\eta} = \sigma_1 + \sigma_2$$

$$(190) \quad \left(\frac{\sigma_x - \sigma_y}{2} \right)^2 + \tau_{xy}^2 = \left(\frac{\sigma_{\xi} - \sigma_{\eta}}{2} \right)^2 + \tau_{\xi\eta}^2 = \left(\frac{\sigma_1 - \sigma_2}{2} \right)^2$$

2. Invariante

$$(190.1) \quad \sigma_x \sigma_y - \tau_{xy}^2 = \sigma_{\xi} \sigma_{\eta} - \tau_{\xi\eta}^2 = \sigma_1 \sigma_2$$

Die Verzerrungen im ebenen Spannungszustand

$$(191) \quad \gamma_{\xi\eta} = -(\varepsilon_1 - \varepsilon_2) \cdot \sin 2\alpha$$

Änderung des rechten Winkels im Bogenmaß !

$$(191.1) \quad \gamma_{\xi\eta} = -\frac{\gamma_{11} - \gamma_{22}}{2} \cdot \sin 2\alpha$$

$$(192) \quad 2\varepsilon_{\xi} = (\varepsilon_1 + \varepsilon_2) + (\varepsilon_1 - \varepsilon_2) \cdot \cos 2\alpha$$

$$(192.1) \quad \gamma_{\xi\xi} = 2\varepsilon_{\xi} = \frac{\gamma_{11} + \gamma_{22}}{2} + \frac{\gamma_{11} - \gamma_{22}}{2} \cdot \cos 2\alpha$$

$$(193) \quad 2\varepsilon_{\eta} = (\varepsilon_1 + \varepsilon_2) - (\varepsilon_1 - \varepsilon_2) \cdot \cos 2\alpha$$

$$(193.1) \quad \gamma_{\eta\eta} = 2\varepsilon_{\eta} = \frac{\gamma_{11} + \gamma_{22}}{2} - \frac{\gamma_{11} - \gamma_{22}}{2} \cdot \cos 2\alpha$$

Verzerrungskreis

die Größen ...

$$\gamma_{\xi\xi} = 2\varepsilon_{\xi}$$

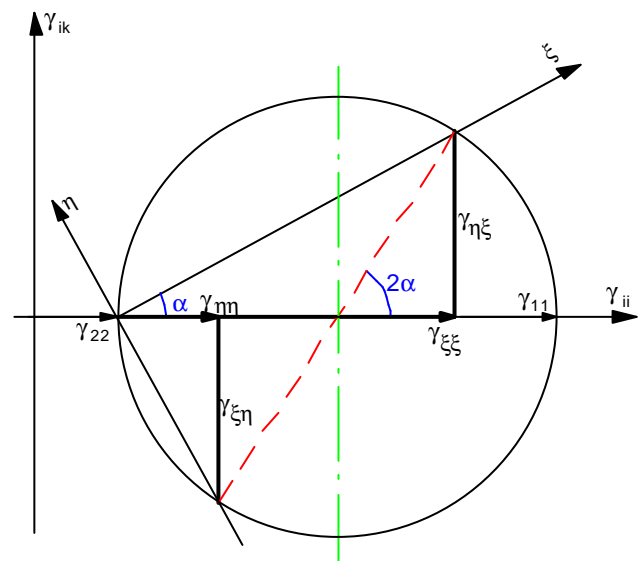
$$\gamma_{\eta\eta} = 2\varepsilon_{\eta}$$

$$\gamma_{11} = 2\varepsilon_1$$

$$\gamma_{22} = 2\varepsilon_2$$

... sind Dehnungen.

$\gamma_{\xi\eta}$ ist die Änderung des rechten Winkels im Bogenmaß.



Die Invarianten der Verzerrungszustandes

$$(194) \quad \gamma_{\xi\xi} + \gamma_{\eta\eta} = \gamma_{xx} + \gamma_{yy} = \gamma_{11} + \gamma_{22}$$

$$\varepsilon_{\xi} + \varepsilon_{\eta} = \varepsilon_x + \varepsilon_y = \varepsilon_1 + \varepsilon_2$$

$$(194.1) \quad \gamma_{xx}\gamma_{yy} - \gamma_{xy}^2 = \gamma_{\xi\xi}\gamma_{\eta\eta} - \gamma_{\xi\eta}^2 = \gamma_{11}\gamma_{22}$$

Allgemeine Umrechnungsformeln für Verzerrungen

geg: $\gamma_{xx} = 2\varepsilon_x$; $\gamma_{yy} = 2\varepsilon_y$; γ_{xy} (=Winkeländerung)

ges: $\gamma_{\xi\xi} = 2\varepsilon_{\xi}$; $\gamma_{\eta\eta} = 2\varepsilon_{\eta}$; $\gamma_{\xi\eta}$

$$(195) \quad \gamma_{\xi\xi} = \frac{\gamma_{xx} + \gamma_{yy}}{2} + \frac{\gamma_{xx} - \gamma_{yy}}{2} \cdot \cos 2\alpha + \gamma_{xy} \cdot \sin 2\alpha$$

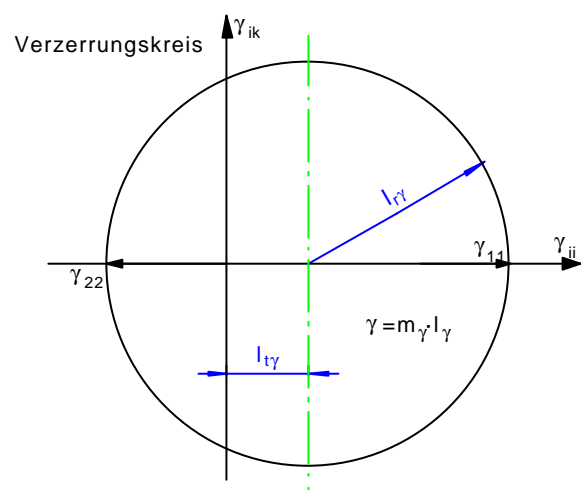
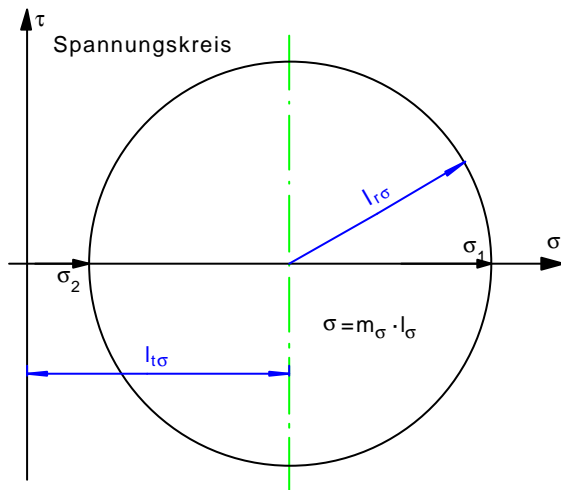
$$\gamma_{\eta\eta} = \frac{\gamma_{xx} + \gamma_{yy}}{2} - \frac{\gamma_{xx} - \gamma_{yy}}{2} \cdot \cos 2\alpha - \gamma_{xy} \cdot \sin 2\alpha$$

$$\gamma_{\xi\eta} = -\frac{\gamma_{xx} - \gamma_{yy}}{2} \cdot \sin 2\alpha + \gamma_{xy} \cdot \cos 2\alpha$$

Ermittlung der Hauptverzerrungsrichtungen aus g_x , g_y und $g_{\alpha 45^\circ}$

$$(195.1) \quad \gamma_{xy} = \gamma_{\xi\xi 45^\circ} - \frac{\gamma_{xx} + \gamma_{yy}}{2}$$

Zusammenhang zwischen Spannungskreis und Verzerrungskreis



$$(196) \quad \frac{l_{r\sigma}}{l_{r\gamma}} = \frac{E \cdot m}{2(m+1)} \cdot \frac{m_\gamma}{m_\sigma} = G \cdot \frac{m_\gamma}{m_\sigma}$$

$$(196.1) \quad \sigma_1 = \frac{E \cdot m}{m^2 - 1} \cdot (\varepsilon_1 \cdot m + \varepsilon_2)$$

$$(196.2) \quad \sigma_2 = \frac{E \cdot m}{m^2 - 1} \cdot (\varepsilon_2 \cdot m + \varepsilon_1)$$

$$(197) \quad \frac{l_{r\sigma}}{l_{r\gamma}} = \frac{E \cdot m}{2 \cdot (m-1)} \cdot \frac{m_\gamma}{m_\sigma} = G \cdot \frac{m+1}{m-1} \cdot \frac{m_\gamma}{m_\sigma} = \frac{m+1}{m-1} \cdot \frac{l_{r\gamma}}{l_{r\gamma}}$$

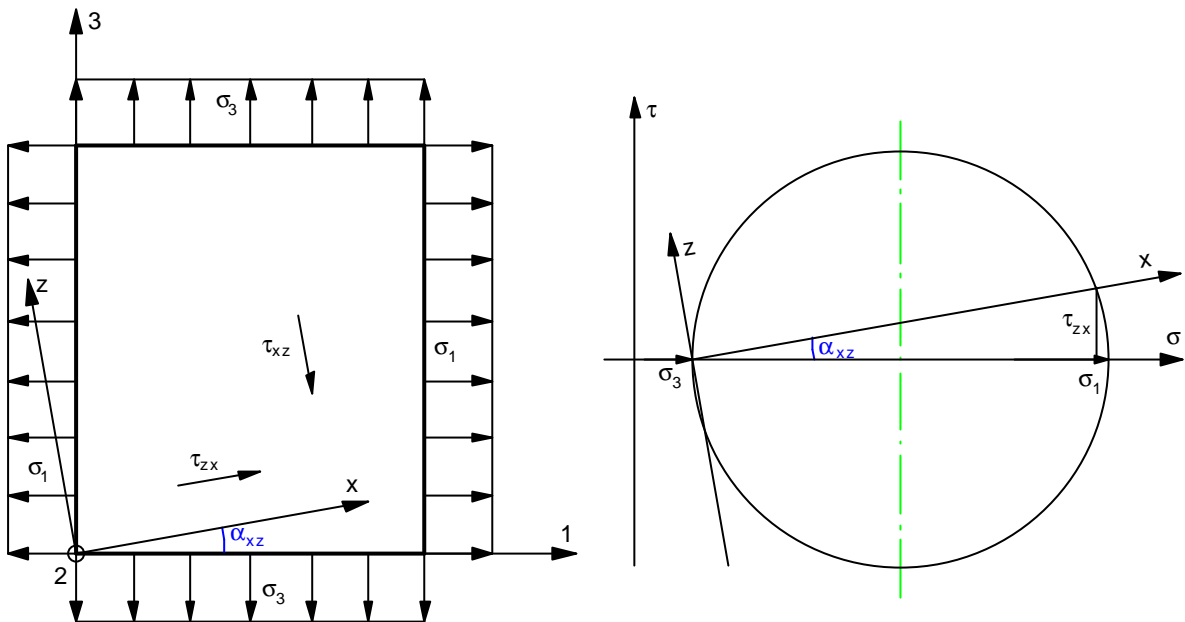
Zylinderkessel mit dünner Wand (s = Wandstärke)

$$(198) \quad \sigma_l = \frac{R}{2 \cdot s} \cdot p_i \quad \text{Längsspannung}$$

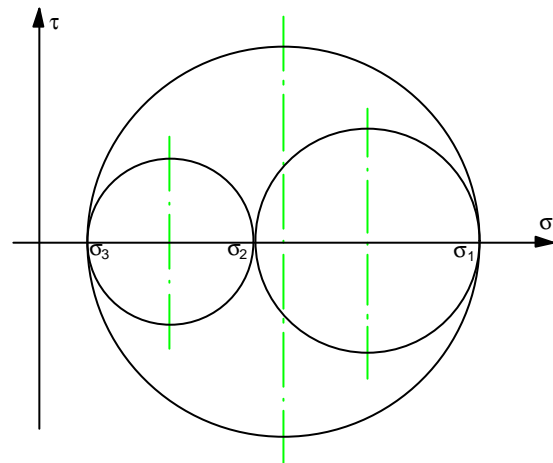
$$(198.1) \quad \sigma_\varphi = \frac{R}{s} \cdot p_i = 2 \cdot \sigma_l \quad \text{Tangentialspannung}$$

Dreiachsiger Spannungszustand

Hier ist der Spannungszustand in der Ebene 1 – 3 dargestellt. Eine Drehung um die Achse 2 ergibt Schubspannungen τ_{zx} bzw. τ_{xz} im System $x - z$.



Man kann diese drei ebenen Spannungszustände in drei Spannungskreisen ausdrücken, die man ineinander zeichnen kann.



Wenn 2 der vorhandenen Spannungen Hauptspannungen sind, dann ist zwangsläufig die 3. Spannung auch eine Hauptspannung.
Der ebene Spannungszustand ist nur ein Sonderfall des räumlichen, wobei eine Spannung = 0 ist.

Hydrostatischer Spannungszustand

Ein hydrostatischer Spannungszustand liegt vor wenn $\sigma_1 = \sigma_2 = \sigma_3$. Der Spannungskreis des 3-achsigen Spannungszustandes wird zum Punkt, es gibt also keinerlei Schubspannungen, daher auch keine Winkelverzerrungen.

Verzerrungen im 3-achsigen Spannungszustand

$$(200) \quad \gamma_{xy} = \frac{\tau_{xy}}{G}$$

$$(201) \quad \varepsilon_x = \frac{1}{E} \cdot \left(\sigma_x - \frac{\sigma_y}{m} - \frac{\sigma_z}{m} \right)$$

$$\varepsilon_y = \frac{1}{E} \cdot \left(\sigma_y - \frac{\sigma_z}{m} - \frac{\sigma_x}{m} \right)$$

$$\varepsilon_z = \frac{1}{E} \cdot \left(\sigma_z - \frac{\sigma_x}{m} - \frac{\sigma_y}{m} \right)$$

Dehnungen

Die einzelnen Werte σ können auch negativ sein, wenn es sich um Druckspannungen handelt.

$$(202) \quad e = \frac{\Delta V}{V_0} = \varepsilon_x + \varepsilon_y + \varepsilon_z$$

Volumendilatation

$$(202.1) \quad e = \frac{m-2}{E \cdot m} \cdot (\sigma_x + \sigma_y + \sigma_z)$$

$$(203) \quad \sigma_x = \frac{E \cdot m}{m+1} \cdot \left(\varepsilon_x + \frac{e}{m-2} \right)$$

$$\sigma_y = \frac{E \cdot m}{m+1} \cdot \left(\varepsilon_y + \frac{e}{m-2} \right)$$

$$\sigma_z = \frac{E \cdot m}{m+1} \cdot \left(\varepsilon_z + \frac{e}{m-2} \right)$$

Die Spannungen als Funktion der Dehnungen

Formänderungsarbeit durch Schubspannungen

$$(204) \quad W_{\tau}^*_{\text{gesamt}} = (w_1 + w_2 + w_3) \cdot V_0 = \frac{\tau_{xy}^2 + \tau_{xz}^2 + \tau_{yz}^2}{2 \cdot G} \cdot dx \cdot dy \cdot dz$$

Formänderungsarbeit durch Normalspannungen

$$(205) \quad W_{\sigma}^*_{\text{gesamt}} = \frac{1}{2 \cdot E} \cdot \left(\sigma_x^2 + \sigma_y^2 + \sigma_z^2 - \frac{2\sigma_x\sigma_y + 2\sigma_x\sigma_z + 2\sigma_y\sigma_z}{m} \right) \cdot dx \cdot dy \cdot dz$$

Spez. Gesamtformänderungsarbeit durch Spannungen ausgedrückt

$$(206) \quad w_{\sigma,\tau} = \frac{1}{E} \cdot \left[\frac{\sigma_x^2 + \sigma_y^2 + \sigma_z^2}{2} - \frac{\sigma_x\sigma_y + \sigma_x\sigma_z + \sigma_y\sigma_z}{m} + \frac{m+1}{m} \cdot (\tau_{xy}^2 + \tau_{xz}^2 + \tau_{yz}^2) \right]$$

$$(206.1) \quad w_{\sigma,\tau} = \frac{1}{E} \cdot \left[\frac{(\sigma_x + \sigma_y + \sigma_z)^2}{2} - \frac{m+1}{m} \cdot (\sigma_x\sigma_y + \sigma_x\sigma_z + \sigma_y\sigma_z) + \frac{m+1}{m} \cdot (\tau_{xy}^2 + \tau_{xz}^2 + \tau_{yz}^2) \right]$$

Spezielle Formänderungsarbeit durch Verzerrungen ausgedrückt

$$(206.2) \quad w_{\varepsilon,\gamma} = G \cdot \left[e^2 \cdot \frac{m-1}{m-2} - 2 \cdot (\varepsilon_x\varepsilon_y + \varepsilon_x\varepsilon_z + \varepsilon_y\varepsilon_z) + \frac{1}{2} \cdot (\gamma_{xy}^2 + \gamma_{xz}^2 + \gamma_{yz}^2) \right]$$

Gestaltänderungsarbeit und Dehnungsarbeit

Die Formänderungsarbeit besteht aus Dehnungsarbeit (Volumenänderung) und Gestaltänderungsarbeit (Verzerrung).

$$(208) \quad w_{D\sigma} = \frac{\sigma'^2}{E} \cdot \frac{3(m-2)}{2m} \quad \text{Dehnungsarbeit}$$

$$(208.1) \quad w_{D\epsilon} = G \cdot e^2 \cdot \frac{m+1}{3(m-2)}$$

$$(209.1) \quad w_{G\epsilon} = -2G \cdot (\epsilon_1' \epsilon_2' + \epsilon_1' \epsilon_3' + \epsilon_2' \epsilon_3') \quad \text{Gestaltänderungsarbeit}$$

$$(209.2) \quad w_{G\epsilon} = +\frac{G}{3} \cdot [(\epsilon_1' - \epsilon_2')^2 + (\epsilon_1' - \epsilon_3')^2 + (\epsilon_2' - \epsilon_3')^2]$$

$$(209.3) \quad w_{G\sigma} = \frac{1}{12G} \cdot [(\sigma_1' - \sigma_2')^2 + (\sigma_1' - \sigma_3')^2 + (\sigma_2' - \sigma_3')^2]$$

$$w_{G\sigma} = \frac{m+1}{6 \cdot E \cdot m} \cdot [(\sigma_1' - \sigma_2')^2 + (\sigma_1' - \sigma_3')^2 + (\sigma_2' - \sigma_3')^2]$$

Überlagerung von Dehnungs- und Gestaltänderungsarbeit zur Formänderungsarbeit

$$(206.3) \quad \underbrace{w_{\epsilon}}_{\text{Formänd-}} = G \cdot \left[\underbrace{e^2 \cdot \frac{m+1}{3(m-2)}}_{\text{Dehnungsarbeit}} + \underbrace{\{-2 \cdot (\epsilon_1' \epsilon_2' + \epsilon_1' \epsilon_3' + \epsilon_2' \epsilon_3')\}}_{\text{Gestaltänderungsarbeit}} \right]$$

$$(206.4) \quad w_{\epsilon} = \frac{G}{3} \cdot \left[e^2 \cdot \frac{m+1}{m-2} + \{(\epsilon_1' - \epsilon_2')^2 + (\epsilon_1' - \epsilon_3')^2 + (\epsilon_2' - \epsilon_3')^2\} \right]$$

$$(206.5) \quad w_{\sigma} = \frac{1}{6 \cdot E \cdot m} \cdot [(m-2) \cdot (\sigma_1' + \sigma_2' + \sigma_3')^2 + (m+1) \cdot \{(\sigma_1' - \sigma_2')^2 + (\sigma_1' - \sigma_3')^2 + (\sigma_2' - \sigma_3')^2\}]$$

Festigkeitshypothesen (Bruchhypothesen, Anstrengungshypothesen)

$$\sigma_v = \text{Vergleichsspannung} \left(\sigma_v \leq \sigma_{zul} = \frac{R_e}{s} \right)$$

Theorie 1: Vergleich der größten Normalspannung (bei Versagen durch Trennbruch).

$$(210) \quad \sigma_v = \sigma_1$$

Theorie 2: Vergleich der größten Dehnung zwischen zwei Punkten.

$$(211) \quad \sigma_v = \sigma_1 - \frac{\sigma_2}{m} - \frac{\sigma_3}{m}$$

Theorie 3: Vergleich der größten Schubspannung (bei Versagen durch Gleitbruch).

$$(212) \quad \sigma_v = \sigma_1 - \sigma_3$$

Theorie 4: Vergleich der Formänderungsarbeit

$$(213) \quad \sigma_v = \sqrt{(\sigma_1 + \sigma_2 + \sigma_3)^2 - \frac{2 \cdot (m+1)}{m} (\sigma_1 \cdot \sigma_2 + \sigma_1 \cdot \sigma_3 + \sigma_2 \cdot \sigma_3)} \quad \text{oder}$$
$$\sigma_v = \sqrt{\frac{1}{3m} \cdot \{ (m-2)(\sigma_1 + \sigma_2 + \sigma_3)^2 + (m+1) \cdot [(\sigma_1 - \sigma_2)^2 + (\sigma_1 - \sigma_3)^2 + (\sigma_2 - \sigma_3)^2] \}}$$

Theorie 5: Vergleich der Gestaltänderungsarbeit

$$(214) \quad \sigma_v = \sqrt{\frac{1}{2} \cdot [(\sigma_1 - \sigma_2)^2 + (\sigma_1 - \sigma_3)^2 + (\sigma_2 - \sigma_3)^2]}$$

Festigkeitshypothesen bei Wellen

Theorie 1:

$$(210.1) \quad \sigma_{v(\sigma)} = \sigma_1 = \frac{1}{2} \cdot (\sigma_w + \sqrt{\sigma_w^2} + \sqrt{\sigma_w^2 + 4\tau_w^2})$$

Theorie 2:

$$(211.1) \quad \sigma_{v(\epsilon)} = \frac{1}{2} \cdot \left[\sigma_w \cdot \frac{m-1}{m} + \sqrt{\sigma_w^2 + 4\tau_w^2} \cdot \frac{m+1}{m} \right]$$

$$(211.2) \quad \sigma_{v(\epsilon)} = 0,35 \cdot \sigma_w + 0,65 \cdot \sqrt{\sigma_w^2 + 4\tau_w^2}$$

Theorie 3:

$$(212.1) \quad \sigma_{v(\tau)} = \sqrt{\sigma_w^2 + 4\tau_w^2}$$

Theorie 4:

$$(213.1) \quad \sigma_{v(w)} = \sqrt{\sigma_w^2 + \frac{2(m+1)}{m} \cdot \tau_w^2}$$

$$(213.2) \quad \sigma_{v(w)} = \sqrt{\sigma_w^2 + 2,6 \cdot \tau_w^2}$$

Theorie 5:

$$(214.1) \quad \sigma_{v(G)} = \sqrt{\sigma_w^2 + 3\tau_w^2}$$

6. Allgemeine Biegung

6.1 Die Biegebeanspruchung

Allgemeines

Angreifende Belastungen an einem Balken können sein:

- Einzellasten F_i , A und B
- Streckenlasten $q(x)$
- Freie Momente M_i

$I_{\ddot{a}q}$ = äquatoriales Trägheitsmoment = Flächenträgheitsmoment = äq. Flächenmoment 2. Grades

$$(215.1) \quad \sum z^2 \cdot dA = \int z^2 \cdot dA = I_{\ddot{a}q} \quad \eta = \text{Abstand von neutraler Faser}$$

$$(215) \quad \sigma = \frac{M_b \cdot \eta}{I_{\ddot{a}q}} ; \quad \sigma_{\max} = \frac{M_b \cdot \eta_{\max}}{I_{\ddot{a}q}} \quad \text{Biegespannung}$$

Errechnung von Flächenträgheitsmomenten

Rechtecksfläche

$$(216.1) \quad I_{\ddot{a}q} = \frac{b \cdot h^3}{12} \quad \text{äquatoriales Trägheitsmoment}$$

$$(216.2) \quad W_{\ddot{a}q} = \frac{b \cdot h^2}{b} \quad (\text{nur für Vollquerschnitt}) \quad \text{äquatoriales Widerstandsmoment}$$

$$(216) \quad \sigma_{\max} = \frac{M_b \cdot \eta_{\max}}{\underbrace{I_{\ddot{a}q}}_{\substack{\text{auch} \\ \text{Hohlquerschnitt}}}} = \frac{M_b}{\underbrace{W_{\ddot{a}q}}_{\substack{\text{nur} \\ \text{Vollquerschnitt}}}}$$

Kreisquerschnitt

$$(217.1) \quad I_{\ddot{a}q} = \frac{d^4 \cdot \pi}{64} \quad \text{äquatoriales Trägheitsmoment}$$

$$(217.2) \quad W_b = \frac{\pi \cdot d^3}{32} \quad (\text{nur für Vollquerschnitt}) \quad \text{äquatoriales Widerstandsmoment}$$

$$(217) \quad \sigma_{\max} = \frac{M_b \cdot \eta_{\max}}{\underbrace{I_{\ddot{a}q}}_{\substack{\text{auch} \\ \text{Hohlquerschnitt}}}} = \frac{M_b}{\underbrace{W_b}_{\substack{\text{nur} \\ \text{Vollquerschnitt}}}}$$

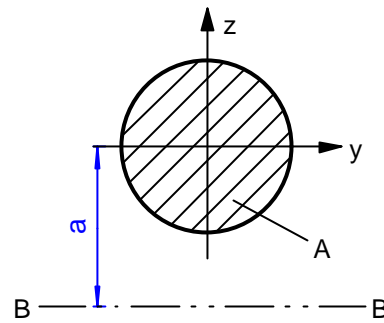
Hohler Kreisquerschnitt

$$(217.3) \quad I_{yy} = I_{zz} = \frac{d_a^4 - d_i^4}{64} \cdot \pi$$

$$(217.4) \quad \sigma_{\max} = \frac{M_b \cdot \eta_{\max}}{I_{\ddot{a}q}} = \frac{M_b \cdot \frac{d_a}{2}}{\frac{(d_a^4 - d_i^4) \cdot \pi}{64}}$$

Umrechnung von Flächenträgheitsmomenten auf parallele Achsen (Steiner'scher Satz)

$$(218) \quad I_{BB} = I_{\ddot{a}q}^* = I_{\ddot{a}q\text{Schwerac}} + a^2 \cdot A$$



Flächenträgheitsmomente zusammengesetzter Flächen

Flächenträgheitsmomente mit gleicher Bezugsachse dürfen addiert werden.

Das äquatoriale Trägheitsmoment eines fehlenden Flächenteils darf von dem $I_{\ddot{a}q}$ der Gesamtfläche abgezogen werden, falls gleiche Bezugsachse vorliegt.

Widerstandsmomente dagegen, dürfen nicht addiert werden.

Der Krümmungsradius

$$(219) \quad \frac{1}{\rho} = K = \frac{M_b}{E \cdot I_{\ddot{a}q}} \quad \rho = \text{Krümmungsradius, } K = \text{Krümmung}$$

6.2 Allgemeine Balkenbiegung

$$(220) \quad K = \frac{1}{\rho} = \frac{y'''}{(1 + y'^2)^{\frac{3}{2}}}$$

Krümmung

$$(221) \quad K = -y'''$$

$$(222) \quad Q(x) = \frac{d(-M(x))}{dx}$$

$$(223) \quad q(x) = \frac{dQ(x)}{dx}$$

Allgemeine Biegeformeln

$$(224) \quad E \cdot I_{\ddot{a}q} \cdot y^{IV} = E \cdot I_{\ddot{a}q} \cdot \frac{d^4 y}{dx^4} = q(x)$$

$$(225) \quad E \cdot I_{\ddot{a}q} \cdot y''' = E \cdot I_{\ddot{a}q} \cdot \frac{d^3 y}{dx^3} = Q(x)$$

$$(226) \quad E \cdot I_{\ddot{a}q} \cdot y'' = E \cdot I_{\ddot{a}q} \cdot \frac{d^2 y}{dx^2} = -M(x)$$

$$(227) \quad E \cdot I_{\ddot{a}q} \cdot y' = E \cdot I_{\ddot{a}q} \cdot \frac{dy}{dx} = -\int M(x) dx$$

$$(228) \quad E \cdot I_{\ddot{a}q} \cdot y = E \cdot I_{\ddot{a}q} \cdot y(x) = -\int \left(\int M(x) dx \right) dx$$

Einzellast in der Mitte

Symmetrie:

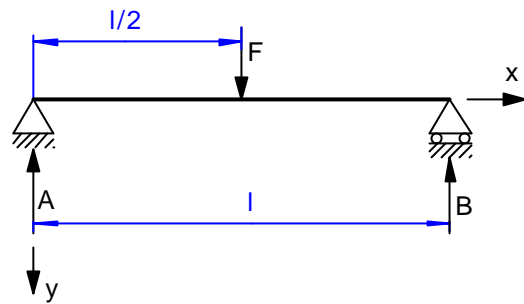
$$A = B = \frac{F}{2}$$

$$(229) \quad y = \frac{F \cdot l^3}{12 \cdot E \cdot I_{\text{äq}}} \cdot \left[-\frac{x^3}{l^3} + \frac{3}{4} \cdot \frac{x}{l} \right]$$

$$(229.1) \quad y' = \frac{F \cdot l^2}{4 \cdot E \cdot I_{\text{äq}}} \cdot \left[-\frac{x^2}{l^2} + \frac{1}{4} \right]$$

$$(229.2) \quad y'(0) = \frac{F \cdot l^2}{16 \cdot E \cdot I_{\text{äq}}}$$

$$(229.3) \quad f = \frac{F \cdot l^3}{48 \cdot E \cdot I_{\text{äq}}}$$



Biegelinie

Neigung

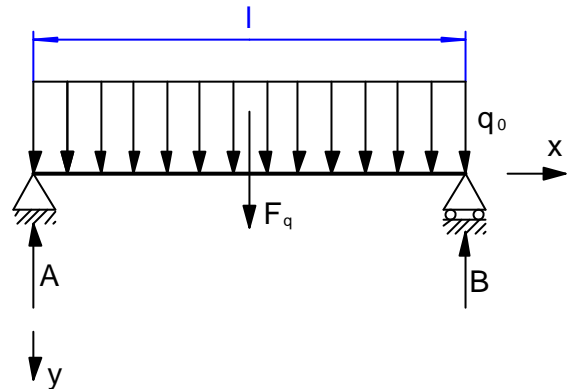
Neigung bei $x = 0$

Maximale Durchbiegung

Konstante Streckenlast q_0

Symmetrie:

$$A = B = \frac{q_0 \cdot l}{2}$$



$$(230) \quad y = \frac{q_0 \cdot l^4}{24 \cdot E \cdot I_{\text{äq}}} \cdot \left[\frac{x^4}{l^4} - 2 \frac{x^3}{l^3} + \frac{x}{l} \right]$$

$$(230.1) \quad f = \frac{5}{16 \cdot 24} \cdot \frac{q_0 \cdot l^4}{E \cdot I_{\text{äq}}} = \frac{5}{384} \cdot \frac{q_0 \cdot l^4}{E \cdot I_{\text{äq}}}$$

$$(230.2) \quad y' = \frac{q_0 \cdot l^3}{6 \cdot E \cdot I_{\text{äq}}} \cdot \left[\frac{x^3}{l^3} - \frac{3 \cdot x^2}{2 \cdot l^2} + \frac{1}{4} \right]$$

$$(230.3) \quad y'(0) = \frac{q_0 \cdot l^3}{24 \cdot E \cdot I_{\text{äq}}} \quad \text{wegen Symmetrie: } y'(l) = -\frac{q_0 \cdot l^3}{24 \cdot E \cdot I_{\text{äq}}}$$

$$(230.4) \quad M(x) = \frac{q_0 \cdot l^2}{2} \cdot \left[-\frac{x^2}{l^2} + \frac{x}{l} \right]$$

$$(230.5) \quad Q(x) = q_0 \cdot l \cdot \left[\frac{x}{l} - \frac{1}{2} \right]$$

Biegelinie

Maximale Durchbiegung

Neigung

Neigung

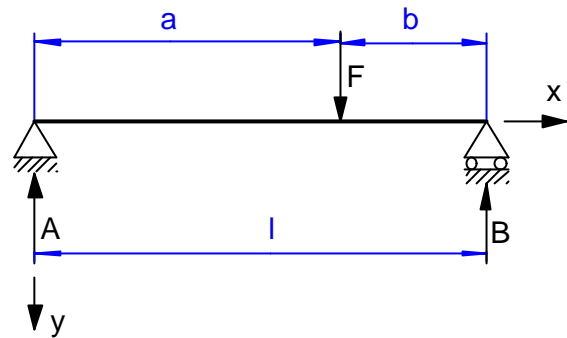
Biegemoment (wie 31.1)

Querkraft (wie 31.2)

Unsymmetrische Einzellast

$$A = \frac{b}{l} \cdot F$$

$$B = \frac{a}{l} \cdot F$$



$$(231) \quad y = \frac{F \cdot l^3}{6 \cdot E \cdot I_{\text{äq}}} \cdot \left[-\frac{b}{l} \cdot \frac{x^3}{l^3} + \frac{a}{l} \cdot \frac{b}{l} \cdot \frac{l+b}{l} \cdot \frac{x}{l} + \frac{(x-a)^3}{l^3} \right] \quad \text{Biegelinie}$$

$$(231.1) \quad y' = \frac{F \cdot l^2}{2 \cdot E \cdot I_{\text{äq}}} \cdot \left[-\frac{b}{l} \cdot \frac{x^2}{l^2} + \frac{1}{3} \cdot \frac{a}{l} \cdot \frac{b}{l} \cdot \frac{l+b}{l} + \frac{(x-a)^2}{l^2} \right] \quad \text{Neigung}$$

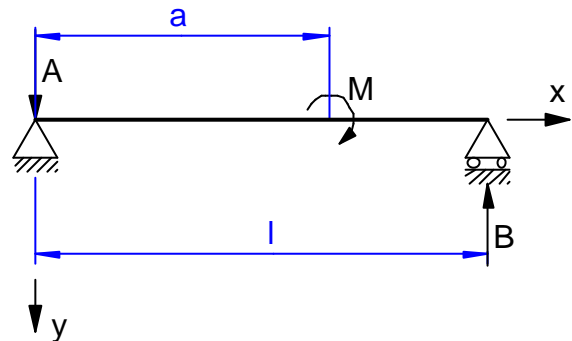
Sonderfall: mittige Einzellast

$$(231.2) \quad y' = \frac{F \cdot l^3}{12 \cdot E \cdot I_{\text{äq}}} \cdot \left[-\frac{x^3}{l^3} + \frac{3}{4} \cdot \frac{x}{l} + 2 \cdot \left(\frac{x}{l} - \frac{1}{2} \right)^3 \right] \quad \text{wie (229)}$$

Lastmoment bei $x=a$

$$A = -\frac{M}{l}$$

$$B = \frac{M}{l}$$



$$(232) \quad y = \frac{M \cdot l^2}{6 \cdot E \cdot I_{\text{äq}}} \cdot \left[\frac{x^3}{l^3} + \frac{x}{l} \cdot \left(2 - 6 \cdot \frac{a}{l} + 3 \cdot \frac{a^2}{l^2} \right) - 3 \cdot \left(\frac{x-a}{l} \right)^2 \right] \quad \text{Biegelinie}$$

$$(232.1) \quad y' = \frac{M \cdot l}{2 \cdot E \cdot I_{\text{äq}}} \cdot \left[\frac{x^2}{l^2} + \left(\frac{2}{3} - 2 \cdot \frac{a}{l} + \frac{a^2}{l^2} \right) - 2 \cdot \frac{x-a}{l} \right] \quad \text{Neigung}$$

Zwei gleiche entgegengesetzt gerichtete Momente an den Stabenden

$$|\vec{M}_A| = |\vec{M}_B|$$

$$A = 0$$

$$B = 0$$

(233)

